

# КРИСТАЛЛИЧЕСКАЯ СТРУКТУРА И ЭЛЕКТРОПРОВОДНОСТЬ СВЕРХТОНКИХ ПЛЕНОК СПЛАВА Ni–Cu

*В. Б. Лобода\*, С. Н. Хурсенко*

*Сумський державний педагогічний університет ім. А. С. Макаренка  
40002, Суми, Україна*

Поступила в редакцию 30 марта 2006 г.

Проведены исследования кристаллической структуры, фазового состава, морфологии и электропроводности сверхтонких пленок сплава Ni–Cu с толщинами в интервале  $d = 1\text{--}10$  нм и концентрациями Cu от 10 ат. % до 95 ат. %. Показано, что все полученные образцы являются ГЦК-сплавом Ni–Cu и имеют островковую структуру с размерами отдельных островков 1.5–2 нм для неотожженных пленок и до 20 нм для отожженных до 700 К пленок. Электропроводность пленок определяется толщиной и морфологией. Для пленок с  $d \approx 1$  нм электропроводность является термически активированной с энергией активации  $E_a \approx 0.086\text{--}0.095$  эВ. Для пленок с  $d > 3$  нм наблюдается металлическая температурная зависимость электропроводности с положительными значениями температурного коэффициента сопротивления.

PACS: 73.61.At, 68.37.Hk

## 1. ВВЕДЕНИЕ

Изучению физических явлений, протекающих в тонких пленках, уделяется значительное внимание. Это обусловлено рядом причин: во-первых, широкими перспективами практического использования пленок (техника сверхвысоких частот, микроэлектроника, оптоэлектроника и др.), во-вторых, возможностью получения информации, необходимой для решения отдельных важных проблем физики твердого тела и физики поверхности.

Свойства тонких пленок, как правило, существенно отличаются от свойств массивных образцов. Ограничение размеров пленочных объектов в одном из направлений приводит к появлению так называемых размерных эффектов, которые в массивном состоянии слабо выражены или вообще не наблюдаются. Эти явления связаны с нарушением соотношения между размерами внешней поверхности и объемом образца, характерного для массивного материала.

На ранних стадиях образования тонкие пленки не являются сплошными. Они формируются из небольших островков, которые могут (или не могут) быть физически связанными друг с другом в зависимости от толщины слоя. Физические свой-

ства островковых пленок существенно отличаются от свойств как массивных металлов, так и сплошных металлических пленок. Так, что касается электрических свойств островковых пленок, то величина удельного сопротивления  $\rho$  таких образцов отличается на несколько порядков от  $\rho$  сплошных пленок и массивного материала, а температурный коэффициент сопротивления (ТКС)  $\beta$  принимает близкие к нулю и даже отрицательные значения. Эти особенности позволяют разрабатывать на основе островковых пленок датчики физических величин (температуры, деформации, магнитного поля и т. д.), а также элементы микроэлектроники (высокоомные резисторы, нелинейные резисторы, системы выпрямления и переключения тока проводимости и др.) [1, 2].

В данной работе представлены результаты исследования морфологии, кристаллической структуры, фазового состава и электропроводности сверхтонких пленок сплава Ni–Cu.

## 2. ТЕХНИКА И МЕТОДИКА ЭКСПЕРИМЕНТА

Сверхтонкие пленки сплава Ni–Cu толщиной  $d = 1\text{--}10$  нм с концентрациями Cu от 10 ат. % до 95 ат. % были получены в вакуумной установ-

\*E-mail: loboda@sspu.sumy.ua

ке ВУП-5М с использованием азотной ловушки при давлении остаточных газов порядка  $10^{-4}$  Па и комнатной температуре методом раздельного испарения компонент [3]. Для испарения Cu применялся резистивный метод нагревания, для испарения Ni — электронно-лучевой. Пленки конденсировались со скоростью  $\omega \geq 1$  нм/с на полированные стеклянные пластины с предварительно нанесенными медными контактами (для исследования электропроводности) и пластины NaCl с тонким слоем углерода (для проведения микроскопических исследований). Конденсация на подложки осуществлялась в течение очень коротких промежутков времени после длительного осаждения металлов на экран-заслонку. Концентрация компонент сплавов определялась рентгеновским микроанализом при помощи растрового электронного микроскопа РЕМ-103-01 с приставкой ЕДС. Поскольку количество вещества в исследуемых пленочных сплавах чрезвычайно мало, характеристический рентгеновский спектр возбуждался при сканировании электронным пучком участка образца размером  $300 \text{ мкм} \times 300 \text{ мкм}$ , что позволяло получать интегрированные данные относительно элементного состава пленки, не перегревая ее электронным пучком. Стабилизация структурного состояния пленок сплава и исследования зависимости электросопротивления от температуры происходили при проведении трех циклов нагревание—охлаждение до 700 К. Температура образцов контролировалась при помощи медь-константановой термопары с погрешностью  $\pm 10$  К. Толщина образцов определялась по времени конденсации при известном значении  $\omega$ .

Электрическое сопротивление пленочных образцов измерялось при помощи цифрового электронного вольтметра В7-46 в режиме омметра по двухзондовой схеме с относительной погрешностью 0.025 %. Электронно-микроскопические и электронографические исследования проводились при помощи электронного микроскопа ПЕМ-100-01.

### 3. РЕЗУЛЬТАТЫ ИССЛЕДОВАНИЙ И ИХ ОБСУЖДЕНИЕ

#### 3.1. Исследование кристаллической структуры, фазового состава и морфологии сверхтонких пленочных сплавов Ni—Cu

Все пленки исследованного сплава Ni—Cu во всем интервале толщин имеют ГЦК-решетку сплава (которая является типичной для массивных сплавов Ni—Cu). Необходимо отметить, что ГЦК-сплав Ni—Cu формируется уже на стадии конденсации

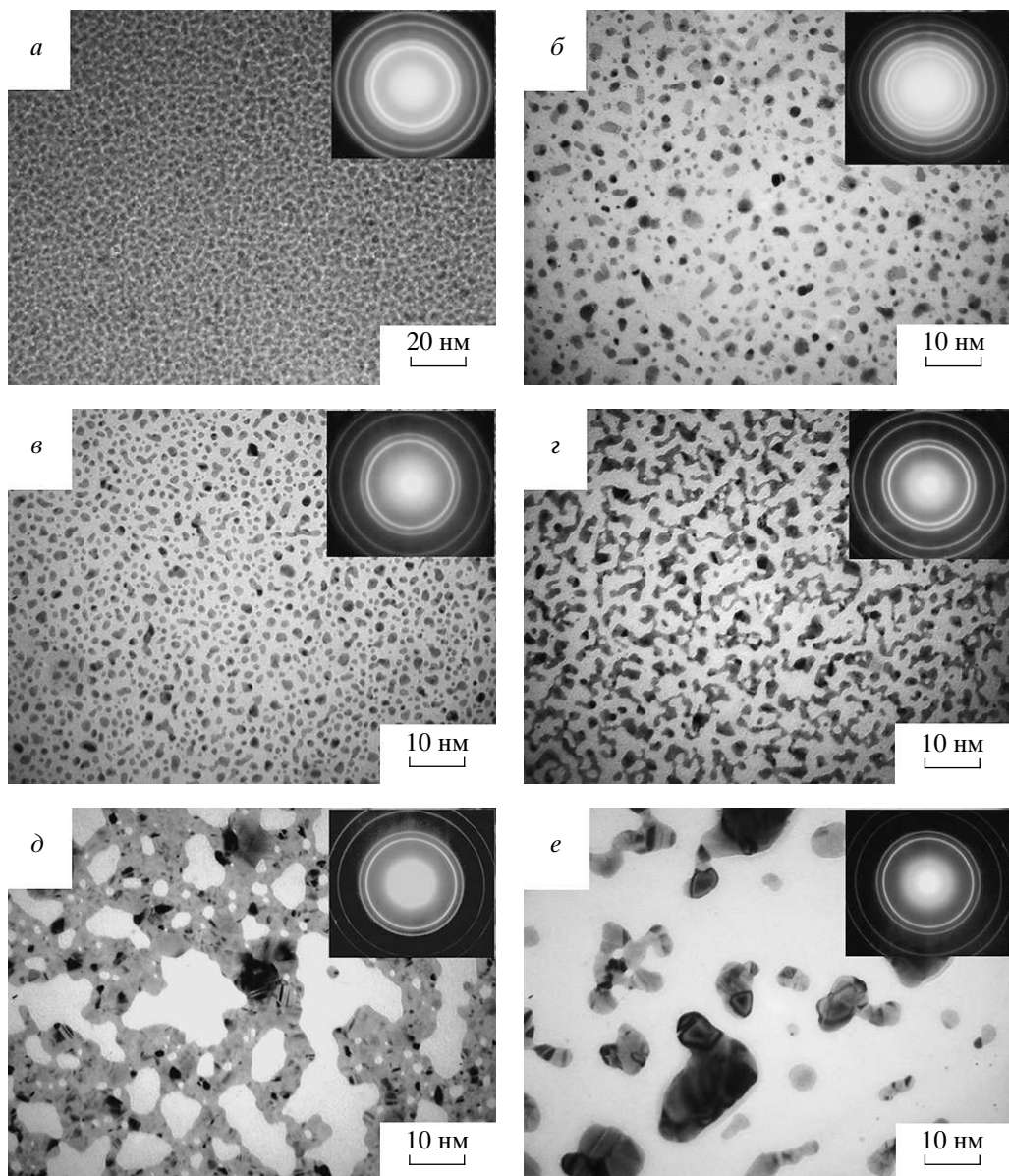
образцов, что подтверждается электронографическими исследованиями (вставка на рис. 1a). Параметр кристаллической решетки зависит от содержания компонент и изменяется от  $a = 0.354$  нм до  $a = 0.361$  нм. Сравнение этих значений с параметром кристаллической решетки для пленочных сплавов с большей толщиной показывает, что для сверхтонких образцов параметр кристаллической решетки уменьшается на 0.002–0.003 нм, что можно объяснить проявлением размерного эффекта периода решетки малых частиц, обусловленного действием сил Лапласа, возникающих из-за малого радиуса их кривизны [1, 4]. С другой стороны, такое уменьшение говорит о хороших вакуумных условиях при подготовлении данных образцов, так как в противном случае наблюдается увеличение периода кристаллической решетки малых частиц из-за растворения в них примесных атомов [5].

Необходимо отметить, что электронографический метод носит интегральный характер, поскольку исследуется большое количество частиц с разбросом по размеру. Однако в случае неотожженных пленок этот разброс невелик.

Процесс образования пленочных сплавов Ni—Cu на начальных стадиях роста можно проследить на рис. 1, где представлены микроснимки и соответствующие электронограммы образцов разной толщины. Как видно, все полученные пленки в исследуемом интервале толщин являются островковыми, с размерами отдельных островков 1.5–2 нм в неотожженных (рис. 1a) и до 20 нм в отожженных (рис. 1b–e) пленках в зависимости от толщины образца.

Следует отметить, что лишь в самых тонких образцах ( $d \approx 1$  нм, рис. 1b) в результате отжига до 700 К появляется незначительное количество окислов  $\text{Cu}_2\text{O}$ , которые фиксируются электронографически в виде слабых дополнительных линий (110, 111, 220).

Конденсация осуществлялась на нейтральную неориентирующую подложку (стекло, углеродная пленка) при  $T_s \approx 300$  К  $< T_m/3$  ( $T_s$  — температура подложки,  $T_m$  — температура плавления сплава данной концентрации,  $1400$  К  $< T_m < 1700$  К), и диффузионная подвижность атомов в островках была затруднена, поэтому в неотожженных пленках независимо от толщины и состава наблюдалась практически одинаковая структура (рис. 1a). При этом мельчайшие островки имеют неправильную форму, а зазоры между ними приобретают характерную форму каналов с примерно одинаковой шириной (классическая «лабиринтная» структура [6]). Уве-



**Рис. 1.** Микроснимки и соответствующие электронограммы неотожженных (*a*) и отожженных до 700 К (*b*–*e*) сверхтонких пленок сплава Ni–Cu разной толщины:  $d = 1$  (*a*, *b*), 2.5 (*c*), 3.5 (*d*), 6 (*d*), 6.5 (*e*) нм,  $C_{\text{Cu}} = 50.3$  (*a*, *b*), 36.7 (*c*), 36.5 (*e*), 90.5 (*d*), 9.8 (*e*) ат. %

личение толщины пленок структурно проявляется только в увеличении плотности островков. Зато последующий отжиг до  $T = 700$  К приводит к существенно различному морфологическому состоянию пленки в зависимости от ее толщины. При толщинах  $d \approx 1$ –3 нм (рис. 1*b*, *e*) происходит простое укрупнение островков (миграционная коалесценция) и общее количество островков существенно уменьшается. При  $d \approx 3$ –4 нм (рис. 1*g*) образуется характерная «мостиковая» структура.

Наиболее существенные преобразования при отжиге испытывают пленки примерно одинаковой толщины  $d \approx 6$  нм, но разной концентрации компонент (рис. 1*d*, *e*). При  $C_{\text{Cu}} = 90.5$  ат. % пленка становится электрически сплошной (рис. 1*d*), а при  $C_{\text{Cu}} = 9.8$  ат. % остается островковой (рис. 1*e*). Отдельные островки сложной формы с четкой огранкой имеют размеры более 10–15 нм. При этом внутри частиц (даже довольно мелких) просматриваются кристаллики, форма, размер и число которых непо-

стоянны. Появление их можно связать с началом рекристаллизационных процессов. Объединение же самих островков в более крупные (рис. 1 $\epsilon$ ) происходит, очевидно, по механизму «жидкостной» коалесценции. Появление «уплотненной» структуры, представленной на рис. 1 $\delta$ , можно объяснить проявлением эффекта автокоалесценции.

### 3.2. Исследование электропроводности сверхтонких пленочных сплавов Ni–Cu

Известно, что электропроводность металлических пленок определяется не только их составом, но и структурой (стадией роста) [7, 8]. При этом островковые (гранулированные) пленки имеют своеобразные электрофизические свойства, коренным образом отличающиеся от свойств массивных металлических образцов и приближающиеся к свойствам полупроводников [6, 9]. Их удельное электросопротивление  $\rho$  на много порядков выше сопротивления сплошных (толстых) пленок, а термический коэффициент сопротивления  $\beta$  зачастую отрицателен. При этом наблюдается экспоненциальная зависимость электросопротивления от температуры, что свидетельствует об активационном механизме электропроводности.

Результаты измерений электропроводности пленок сплава Ni–Cu представлены в таблице и на рис. 2. По этим данным можно проследить, как изменяются значения  $\rho$  и  $\beta$  в зависимости от толщины сконденсированного слоя и концентрации компонент.

Удельное сопротивление островковых пленок можно представить следующим уравнением [8]:

$$\rho(T) = \rho_0(1 + \beta T) + c \exp \frac{E_a}{kT}, \quad (1)$$

где первое слагаемое обозначает обычную температурную зависимость, а второе выражает некоторого рода термически активированный процесс.

Необходимо отметить, что все пленки с  $d \approx 1$  нм имеют похожие экспоненциальные зависимости  $\rho(T)$  с отрицательными значениями  $\beta$  (рис. 2 $a$ ). Наоборот, пленки толщиной более 2.5 нм (рис. 2 $\delta, \epsilon$ ) при отжиге (оставаясь островковыми) ведут себя подобно сплошным — при первом отжиге происходит необратимое уменьшение электросопротивления, обусловленное усовершенствованием структуры (отжиг дефектов, рекристаллизация и др.). При последующих отжигах электросопротивление увеличивается с ростом температуры ( $\beta > 0$ ).

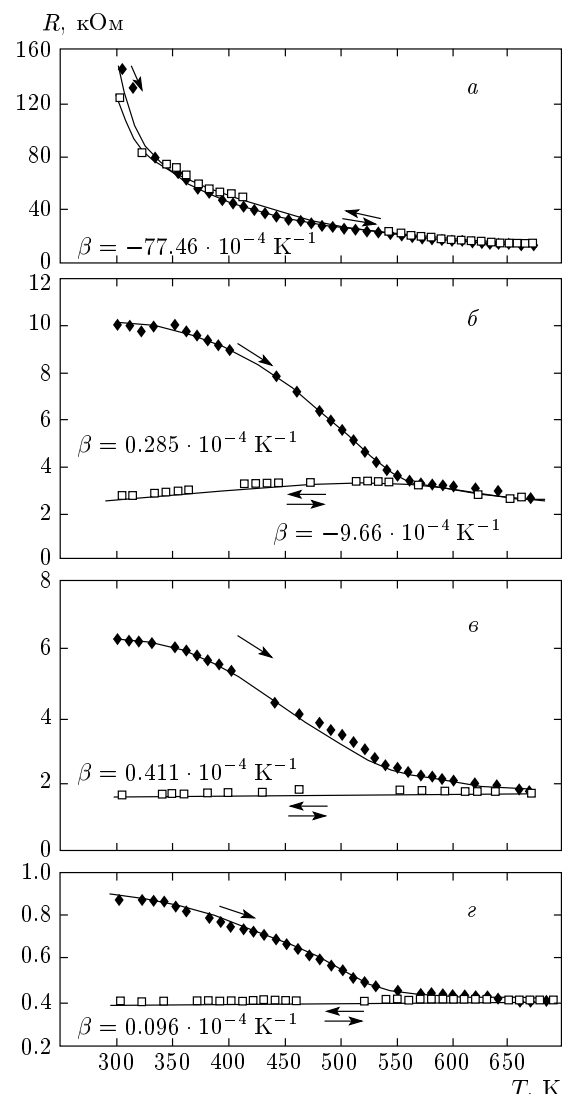


Рис. 2. Зависимости сопротивления сверхтонких пленок сплава Ni–Cu разной толщины от температуры отжига:  $d = 1$  (a), 2.5 (б), 3.5 (в), 6.5 (г) нм,  $C_{\text{Cu}} = 50.3$  (a), 36.7 (б), 86.5 (в), 9.8 (г) ат. %

Воспользовавшись формулой (1), видим, что для пленок с  $d \approx 1$  нм (рис. 2 $a$ ) основополагающим является термически активированная проводимость, а для пленок с  $d \geq 3.5$  нм (рис. 2 $\delta, \epsilon$ ) — обычный (металлический) температурный ход зависимости  $\rho(T)$  с величиной  $\beta > 0$ , зависящей от толщины и состава пленки. Тогда пленка с толщиной  $d = 2.5$  нм (рис. 2 $\delta$ ), очевидно, представляет собой некую переходную структуру, для которой в какой-то степени характерны оба механизма электропроводности.

Для пленок с  $d \approx 1$  нм по аналогии с другими работами [10] можно определить энергию активации

Зависимость величины удельного сопротивления и температурного коэффициента сопротивления от толщины пленочных сплавов Ni–Cu, прошедших отжиг (температура измерения 300 К)

$d$ , нм	$C_{\text{Cu}}$ , ат. %	$\rho \cdot 10^{-8}$ , Ом·м	$\beta \cdot 10^{-4}$ , К $^{-1}$	$E_a$ , эВ
1	10.0	2900.7	-33.48	0.105
1	18.5	2625.0	-28.96	0.086
1	46.7	2538.9	-34.09	0.095
1	50.3	2580.9	-77.46	0.098
2.5	36.7	174.2	0.285	—
3.5	86.5	140.0	0.411	—
6	90.5	75.6	0.186	—
6.5	9.8	55.2	0.096	—
6.5	93.5	78.1	0.048	—

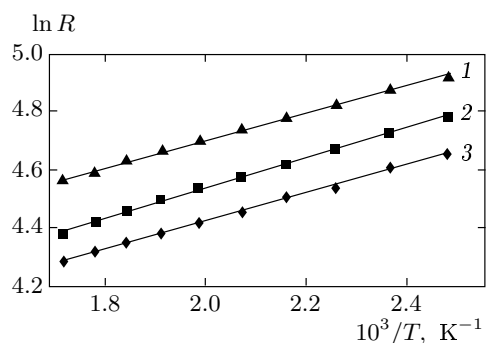


Рис. 3. Зависимости электросопротивления островковых пленок с  $d \approx 1$  нм от температуры:  $C_{\text{Cu}} = 18.5$  (1), 46.7 (2), 50.3 (3) ат. %,  $E_a = 0.086$  (1), 0.095 (2), 0.098 (3) эВ

проводимости  $E_a$  по наклону зависимости  $\ln R$  от  $T^{-1}$  в области температур отжига 300–700 К. На рис. 3 представлена серия этих зависимостей. Характерными являются небольшие различия в значениях  $E_a$  (кривые практически параллельны друг другу). Значения  $E_a$  пленок сплава Ni–Cu близки к значениям  $E_a$  для пленок чистых металлов (Ni, Cr, Pt), имеющих подобную структуру [6–9].

В настоящее время существует несколько теоретических моделей механизма проводимости островковых металлических пленок (см., например [6–10]). Исторически первой была попытка объяснить электропроводность островковых пленок явлением термоэлектронной эмиссии, однако очень малые энер-

гии активации (на один–два порядка меньше работы выхода электронов из массивных металлов) приводят к большим затруднениям в применении таких моделей. Чисто туннельный механизм качественно позволяет описать проводимость островковых конденсаторов, однако при этом сложно учесть температурную зависимость электропроводности. В последние годы преобладающими являются представления о термически активированном туннелировании (Холмянский и др. [6]). Не останавливаясь на деталях, отметим, что при этом энергия активации  $E_a$  определяется в основном размерами островков и промежутков между ними и не зависит от работы выхода металла островка.

В этом плане результаты, представленные на рис. 3, вполне понятны, так как величина  $E_a$  определяется не химическим составом островков (а он изменяется в широких пределах), а примерно одинаковым структурным состоянием данных пленок (рис. 1 a).

#### 4. ВЫВОДЫ

1. Все исследованные сверхтонкие пленки сплава Ni–Cu во всем интервале толщин ( $d = 1$ –10 нм) имеют ГЦК-решетку сплава с параметром от 0.354 нм до 0.361 нм в зависимости от содержания компонент.

2. Полученные пленки являются структурно несплошными, имеют островковую структуру (для неотожженных образцов размеры отдельных островков составляют 1.5–2 нм; для отожженных до 700 К образцов — до 20 нм в зависимости от толщины пленки).

3. Электропроводность островковых пленок толщиной  $d \approx 1$  нм носит активационный характер с энергией активации  $E_a \approx 0.086\text{--}0.095$  эВ.

## ЛИТЕРАТУРА

1. И. Д. Морохов, Л. И. Трусов, С. П. Чижик, *Ультрадисперсные металлические среды*, Атомиздат, Москва (1977).
2. В. А. Осадченко, В. И. Трофимов, Л. А. Селиверстов, *Микроэлектроника* **9**, 61 (1980).
3. С. П. Чижик, Н. Т. Гладких, Л. К. Григорьева и др., *Металлы* **2**, 175 (1985).
4. Ю. Ф. Комник, *Физика металлических пленок. Размерные и структурные эффекты*, Атомиздат, Москва (1979).
5. С. А. Непийко, *Физические свойства малых металлических частиц*, Наукова думка, Киев (1985).
6. Л. И. Трусов, В. А. Холмянский, *Островковые металлические пленки*, Металлургия, Москва (1973).
7. К. Л. Чопра, *Электрические явления в тонких пленках*, Мир, Москва (1972).
8. Л. Майссел, Р. Глэнг, *Технология тонких пленок*, Сов. радио, Москва (1977).
9. П. Г. Борзяк, Ю. А. Кулюпин, *Электронные процессы в островковых металлических пленках*, Наукова думка, Киев (1980).
10. C. A. Neugebauer and M. B. Webb, *J. Appl. Phys.* **33**, 74 (1962).